

<https://helda.helsinki.fi>

пъ C 4 @ C : N ; L A : 0 O ? 0 ; 5 > : > A 0

Gerasimov, Dmitry

пъ -
2019

пъ Gerasimov , D , Kriiska , A , Nordqvist , K & Kholkina , M 2019 , C 4 @
пъ . in 0 < O B = 8 : 8 : 0 < 5 = = > 3 > 2 5 : 0 @ > A A 8 9 A : > 9 G 0 A B 8 0 @ 2 A : > - C 6 A : > 3 >
пъ , pp. 5 6 7 5 . < <http://lib.kunstkamera.ru/rubrikator/05/978-5-88431->

<http://hdl.handle.net/10138/327088>

publishedVersion

Downloaded from Helda, University of Helsinki institutional repository.

This is an electronic reprint of the original article.

This reprint may differ from the original in pagination and typographic detail.

Please cite the original version.

Значительная мощность культурного слоя (до 0,65 м) вкупе с большой площадью поселения (почти 7000 кв. м), а также сильная насыщенность культурного слоя говорят о том, что зафиксированный объект представляет собой остатки долговременного поселения эпохи неолита.



Рис. 37. Галик 7. 2018 г. Находки из шурфа 16: 1–9 — фрагменты керамических сосудов и изделий, 10–11 — кварцевые отщепы, 12 — фрагмент песчаника со следами шлифовки

Кудрукюльская палеокоса

Кудрукюльская палеокоса протянулась на 25 км почти в меридиональном направлении вдоль побережья Нарвского залива, входящего в акваторию Финского залива Балтийского моря (см. рис. 9). Основание её расположено

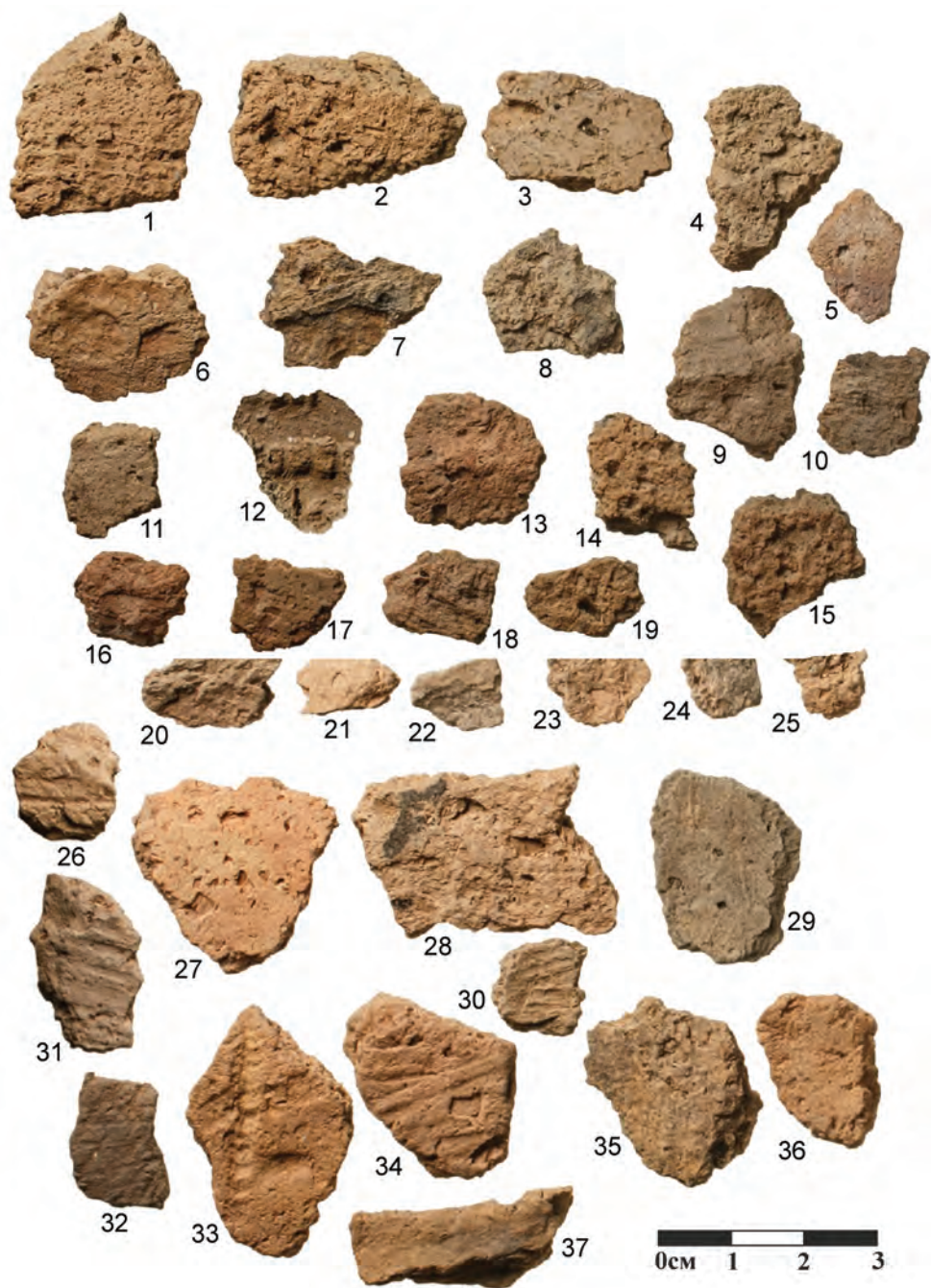


Рис. 38. Галик 7. 2018 г. Фрагменты керамики из шурфа 16



Рис. 39. Дюна на Кудрукюльской палеокосе вблизи р. Россони. 2013 г.
Вид с запада. Фотография М.А. Анисимова

на территории Эстонии, приблизительно в 5 км от государственной границы с Россией, там, где Балтийско-Ладожский глинт примыкает к морскому побережью. С восточной стороны коса обрывается в долину р. Луги. Ширина косы 1–1,5 км. В центральной части косы на всём её протяжении расположилась цепочка дюн высотой до 15 м (рис. 39), время их формирования до сих пор является предметом дискуссии. Коса прорезается реками Нарвой и Россонью. Последняя является скорее дельтовой протокой, соединяющей р. Лугу и Нарву, с непостоянным направлением течения и урезом воды, лишь на первые десятки сантиметров превышающем уровень Балтики. Россонь подмывает северный берег, где сформировались песчаные обрывы высотой 7–8 м (рис. 40). Коса поросла сосновым лесом.

Севернее Россони с востока к косе примыкает болото Кадер — в прошлом морская лагуна. На Кудрукюльской палеокосе выявлено наибольшее количество археологических памятников позднего неолита — эпохи раннего металла Нарвско-Лужского междуречья (традиции гребенчато-ямочной и шнуровой керамики). На российской части палеокосы выделяются несколько скоплений — группа памятников у Россони и группа близ урочища Вяйке-Ропсу (см. рис. 9).

У Россони в 2011–2013 гг. на участке протяжённостью менее 1 км площадью менее 1 кв. км зафиксированы 17 археологических объектов. Из них три местонахождения — случайная находка средневекового времени (Россонь 14), случайная находка предположительно бронзового века (Россонь 13), одиночное(?) погребение VI–VII вв. н.э. (Россонь 11).



Рис. 40. Обрывы северного берега р. Россони, прорезающей Кудрукюльскую палеокосу. 2015 г. Вид с запада. Фотография Н.В. Царёва

Четырнадцать объектов — стоянки и поселения эпохи неолита — раннего металла. Памятники расположены на восточном склоне Кудрукюльской палеокосы, понижающемся по направлению к р. Луге, на небольших песчаных всхолмлениях высотой около 8 м над уровнем моря, возвышающихся на 1–1,5 м над окружающей поверхностью, и на террасе 10 м над уровнем моря (рис. 41–42). Всхолмления образуют две цепочки, субпараллельные друг другу и краю косы, ограниченные с запада и востока и разделённые между собой цепочками вытянутых в том же направлении маленьких заболачивающихся озёрок. Местонахождения представляют собой скопления подъёмного материала, расстояния между скоплениями около 150 м.

Типичная гребенчато-ямочная керамика (рис. 43) была найдена на семи памятниках. Памятники Россонь 15 и 16 являются, предположительно, чистыми комплексами, а на остальных (Россонь 1, 5, 7, 9) такая керамика была найдена вместе со шнуровой.

Фрагменты керамики с памятников Россонь 5 и 9 имеют незначительное количество примеси мелкого песка. Орнаментация разрежена, доминируют конические ямки. На поверхности следы заглаживания. Керамика с памятников Россонь 7 и 9 отличается — фрагменты имеют обильную примесь дресвы. В орнаментации присутствует гребенчатый и гладкий штамп, встречаются геометрические мотивы. Есть фрагмент венчика, орнаментированного ямками. Толщина стенок от 7–8 до 10–11 мм.

Помимо типичной гребенчато-ямочной керамики встречена также поздняя гребенчато-ямочная керамика со следами выгоревшей органической примеси

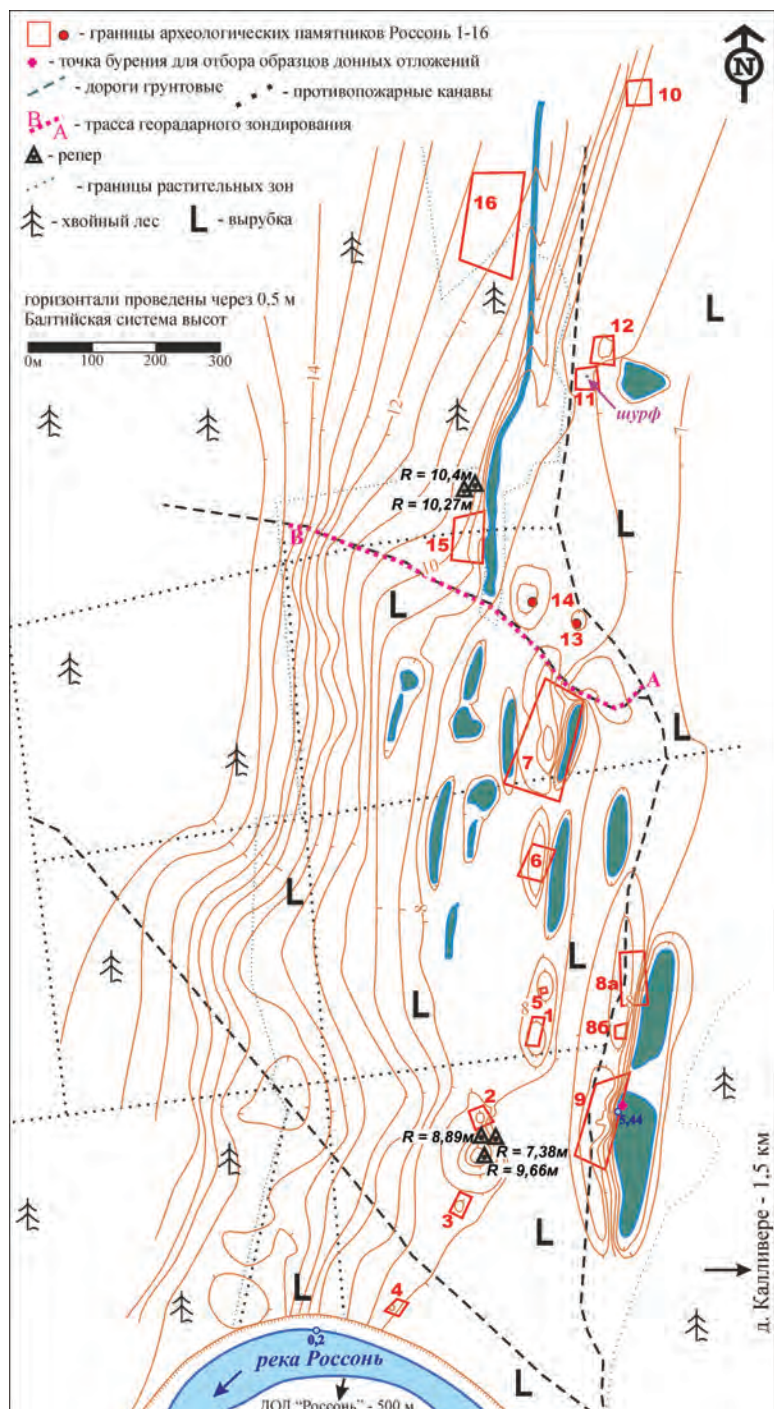


Рис. 41. Карта археологических памятников у р. Россоны (Россоны 1–16)

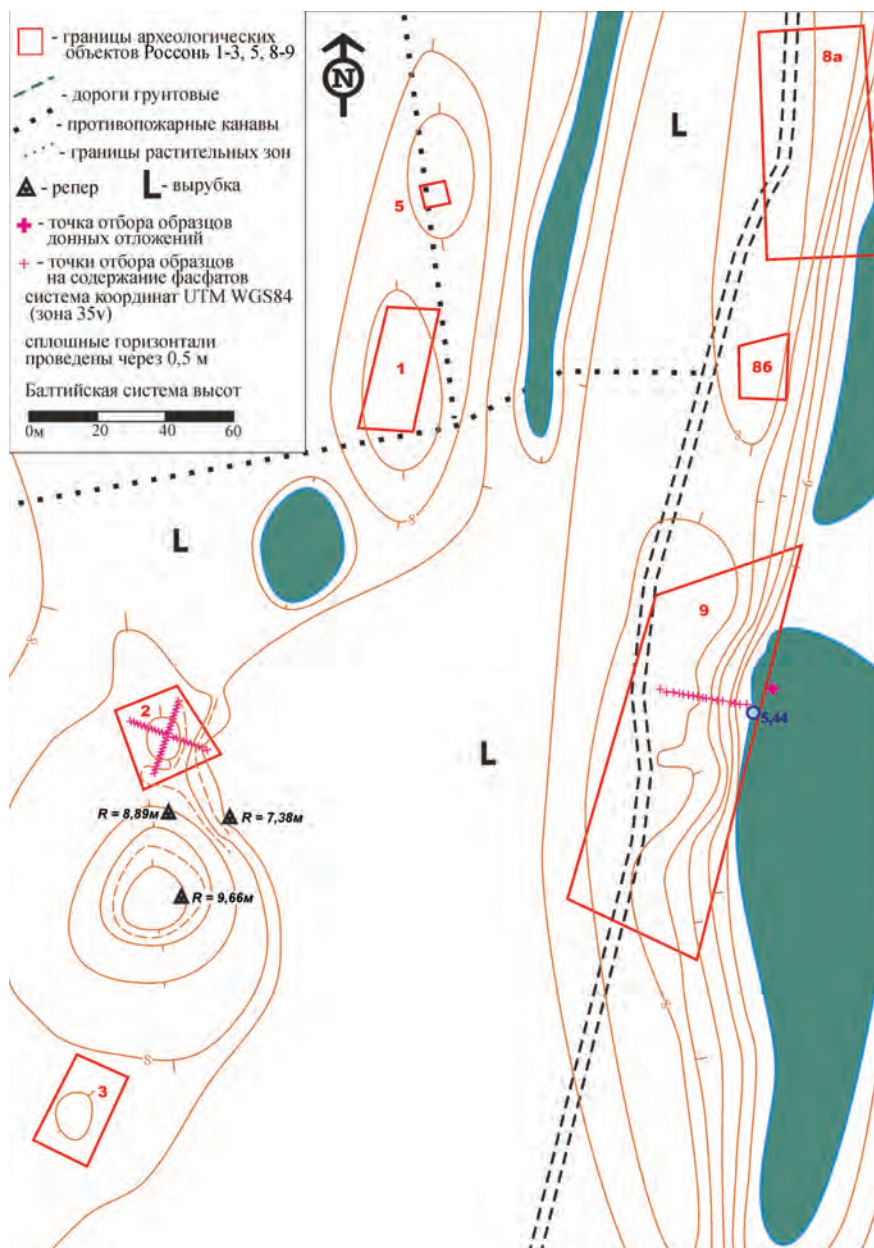


Рис. 42. Стоянки Россонь 1-3, 5, 8-9. Топографический план

(памятники Россонь 6, 7с, 9). Фрагменты, относящиеся к данному типу, толсто-стенные (толщина стенок около 10 мм), на них присутствует орнаментация крупными ямками, гребенчатым штампом. На всех памятниках с поздней гребенчато-ямочной керамикой есть также шнуровая керамика, а на Россони 9 также типичная гребенчато-ямочная.

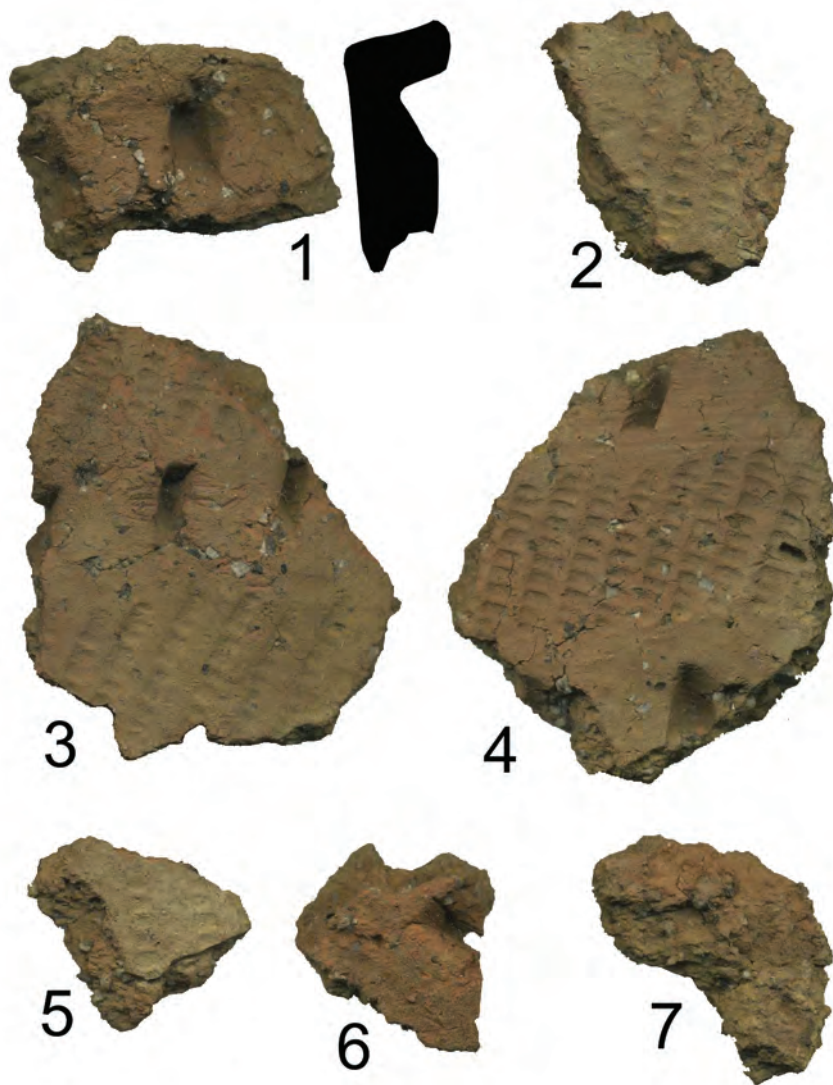


Рис. 43. Типичная гребенчато-ямочная керамика со стоянки Россонь 16

Ещё один тип — это шнуровая керамика (рис. 44). Она тонкостенная (толщина стенок от 4–5 до 8–9 мм), слабо профилированная. Венчик утолщен, прямой или скругленный внутрь, толщина венчика 10 мм. Орнаментация представляет собой редкие мелкие ямки и горизонтальные линии отпечатков шнура. На некоторых фрагментах нанесены отпечатки, похожие на следы ткани.

Памятники со шнуровой керамикой представлены преимущественно небольшими, по-видимому, кратковременными стоянками (Россонь 1–5, 10, 12).

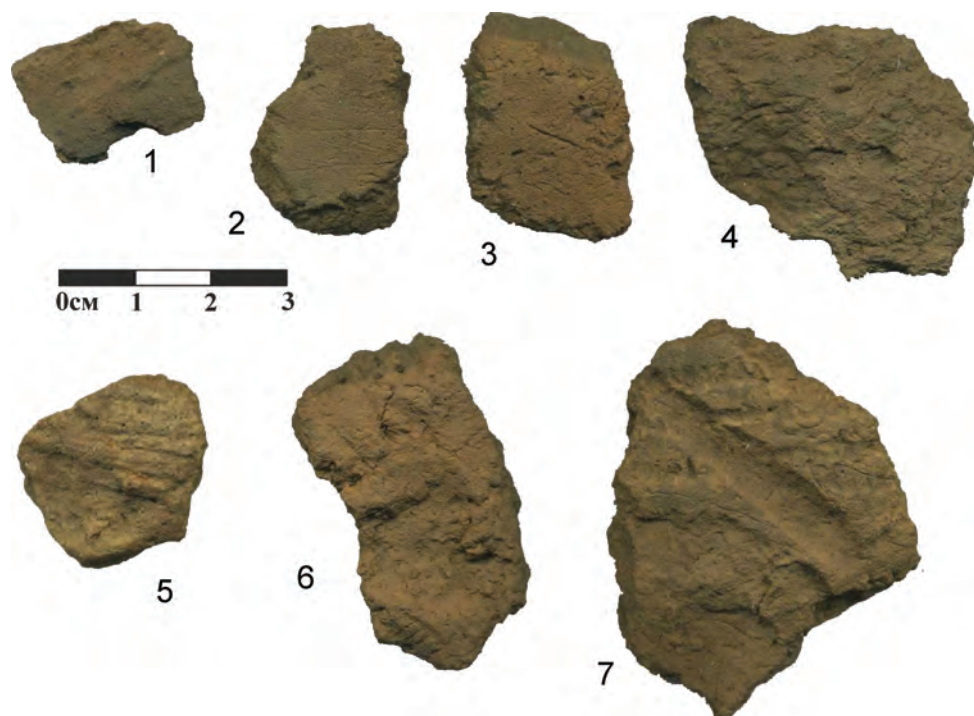


Рис. 44. Шнуровая керамика со стоянок Россонь 10 (1–4) и 12 (5–7)

Значительная площадь памятников Россонь 6, 7, 8А, 8В, 9, обилие и разнообразие подъёмного материала позволяют предположительно интерпретировать их как долговременные поселения. На памятниках Россонь 1, 5, 7, 9 присутствует и шнуровая, и типичная гребенчато-ямочная керамика. На памятниках Россонь 6, 7 и 9 выявлена поздняя гребенчато-ямочная керамика со следами выгоревшей органической примеси. Только шнуровая керамика присутствует на памятниках Россонь 2–4, 8, 10.

Для местонахождения Россонь 1 по фрагменту кальцинированной кости была получена AMS-дата 2215–2020 лет до н.э. (3725 ± 40 , Hela-2744) [Rosentau et al. 2013: table 2: 65] (рис. 45).

На памятниках Россонь 15 и 16 представлена исключительно типичная гребенчато-ямочная керамика с примесью дресвы. От памятников со шнуровой керамикой их отличает приуроченность к террасе восточного склона Кудрукюльской палеокозы и более высокое положение — 10 м над уровнем моря. Можно предположить более древний возраст этих памятников и предварительно датировать их серединой — второй половиной IV тыс. до н.э.

Отдельно следует отметить находку шлифованного тесла из плотного известняка подпрямоугольного сечения с полированным лезвием, обломанным на конце (рис. 46). Тесло находилось на дне ямы размером 15×20 м под восточ-

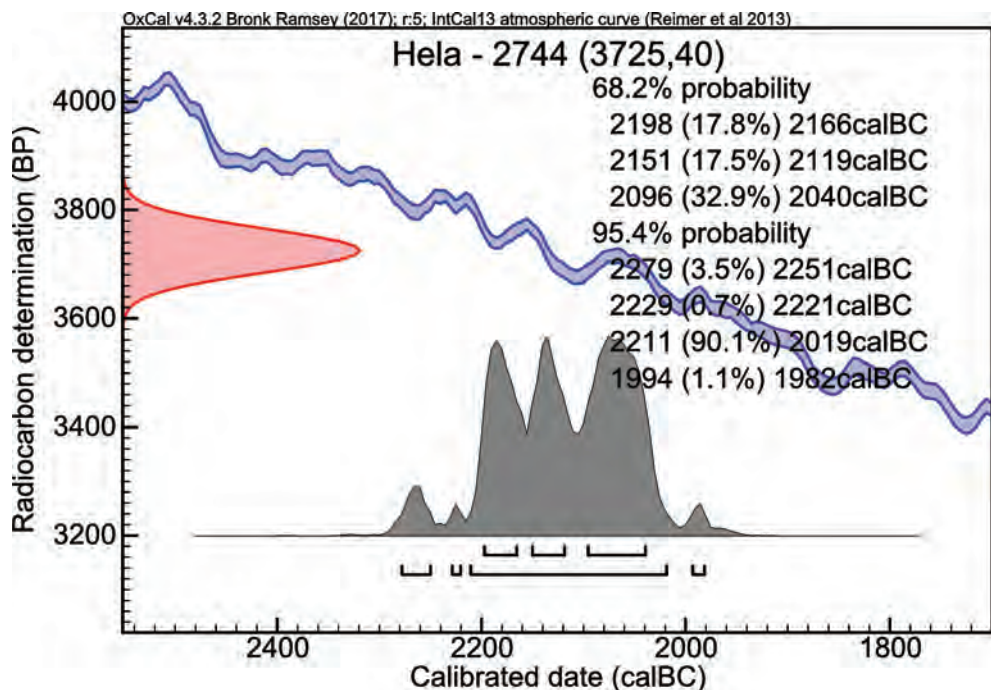


Рис. 45. Результат калибровки радиоуглеродной даты с памятника Россонь 1

ным склоном песчаного всхолмления — Россонь 13 (рис. 47). Предмет может быть предварительно отнесён ко времени от конца каменного века и до бронзового века включительно (III–II тыс. до н.э.). Никаких других находок на нарушенной распахкой поверхности найдено не было. По всей видимости, во время попадания топора в яму она была заполнена водой. Возможно, предмет был помещён в небольшой водоём намеренно и может быть интерпретирован как своего рода результат принесения жертвы.

В ходе археологических разведок на Кудрукюльской палеокосе в районе Россони помимо памятников каменного века были выявлены местонахождения средневекового времени. Это развал гончарной керамики, предположительно, от одного сосуда с местонахождения Россонь 14 (рис. 41, 48), скопление, вероятно, печной обмазки в пределах границ стоянки Россонь 9.

Наибольший интерес представляет одиночное погребение-кремация на памятнике Россонь 11. На восточном склоне палеокосы, на террасе высотой 7 м над уровнем моря (рис. 41) в борозде от лесопосадочной распахки, ориентированной в широтном направлении, было выявлено компактное скопление крупных фрагментов пережженных костей. На месте скопления был заложен шурф размерами 2×2 м (рис. 49–50). Помимо костей, из шурфа происходят фрагменты пластинчатой привески с орнаментом, нанесённым зубчатым колёсиком, фрагменты орнаментированного браслета с продольным ребром, фрагмент



Рис. 46. Шлифованное тесло с местонахождения Россонь 13: а) фотография, б) прорисовка

пластинчатого гладкого железного предмета, четыре мелких фрагмента лепной керамики. Выявленный комплекс был интерпретирован Е.Р. Михайловой как остатки одиночного женского погребения VI–VII вв. н.э., выполненного по обряду кремации и захороненного в лепном керамическом сосуде [Герасимов и др. 2017].



Рис. 47. Россонь 13. 2013 г. Находка шлифованного тесла. Вид с востока.
Фотография Д.В. Герасимова



Рис. 48. Развал гончарной керамики с местонахождения Россонь 14



Рис. 49. Место расположения одиночного погребения-кремации раннего средневековья Россонь 11. 2013 г. Вид с юга. Фотография Д.В. Герасимова



Рис. 50. Погребение-кремация раннего средневековья Россонь 11. 2013 г. Вид с юга.
Фотография К.В. Шмелёва

Группа археологических памятников у Россони отделена от более северной группы памятников в урочище Вяйке-Ропсу участком восточного края палеокосы длиной около 3 км, где дюны высотой до 20 м круто обрываются в болото Кадер (см. рис. 9).

В 2018 г. осуществлялся археологический надзор при прокладке трубопровода вблизи границ стоянок Вяйке-Ропсу 6 и 7. Объекты, по-видимому, являются остатками одного поселения, разделённого крутым склоном дюны, где культурный слой отсутствует (рис. 51–52). Подъёмный материал представлен фрагментами гребенчато-ямочной и шнуровой керамики, артефактами из кварца и кремня (рис. 53).

Тщательно проведённые работы по определению границ памятников позволили выявить коридор между границами распространения культурного слоя. Этот коридор обусловлен геоморфологическими особенностями участка — древние стоянки располагались на относительно ровных террасовых поверхностях у древней береговой линии. Разделяющий их крутой склон дюны, обрывавшийся в древнюю лагуну, а теперь в болото, был малопригоден для хозяйственной деятельности.

Наблюдения проводились на всех этапах работ, связанных с нарушением естественной земной поверхности: при корчёвке пней, прокладке временной дороги, в ходе планировки поверхности. Осматривались нарушенные участки поверхности, закладывались зачистки, велась фотодокументация. Наблюдения проводились на всём участке протяжённостью 650 м от края болота Кадер

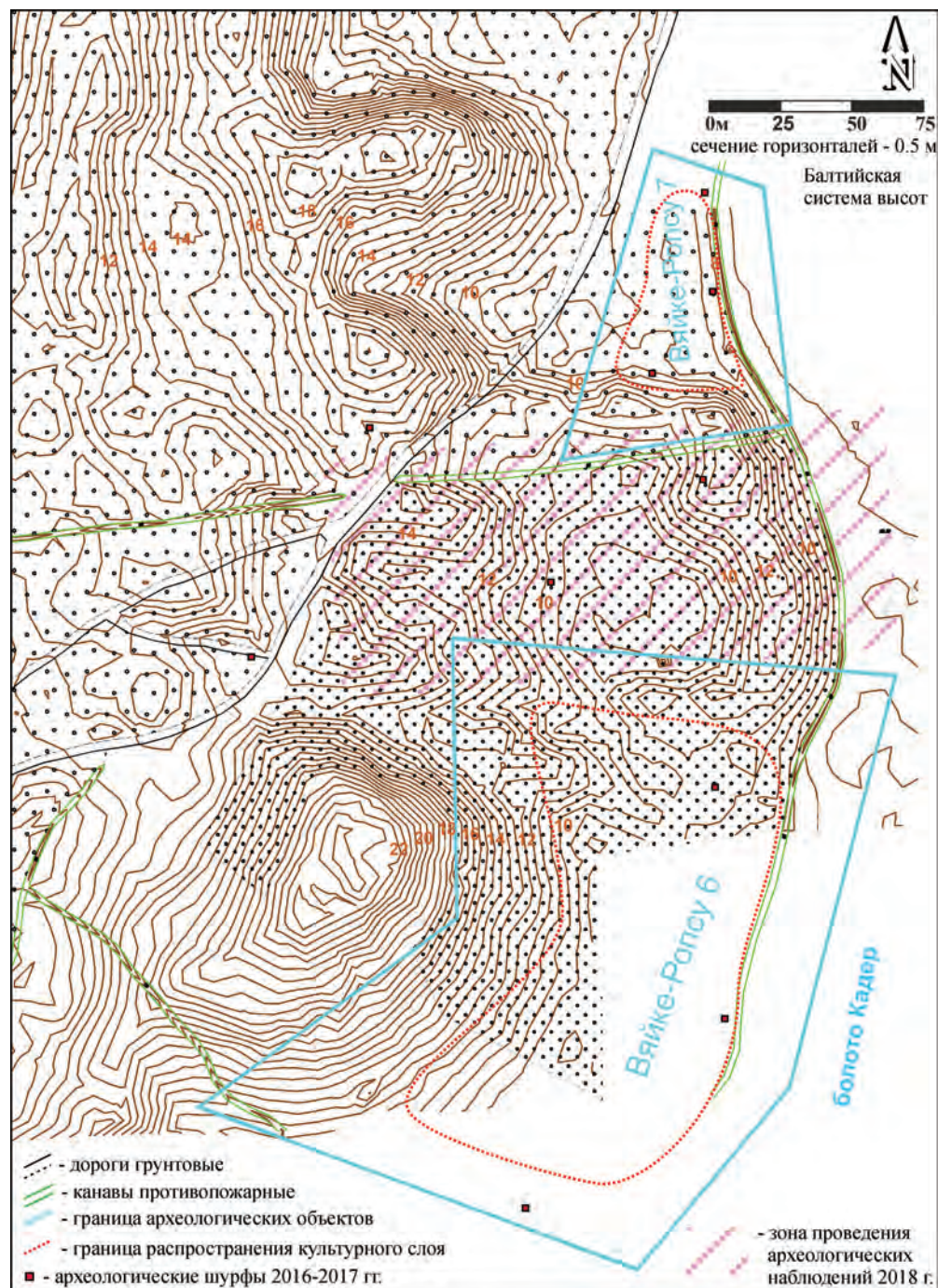


Рис. 51. План стоянок Вайке-Ропсу 6 и 7



Рис. 52. Вяйке-Ропсу 6. 2013 г. Вид с юго-востока. Фотография А. Крийска

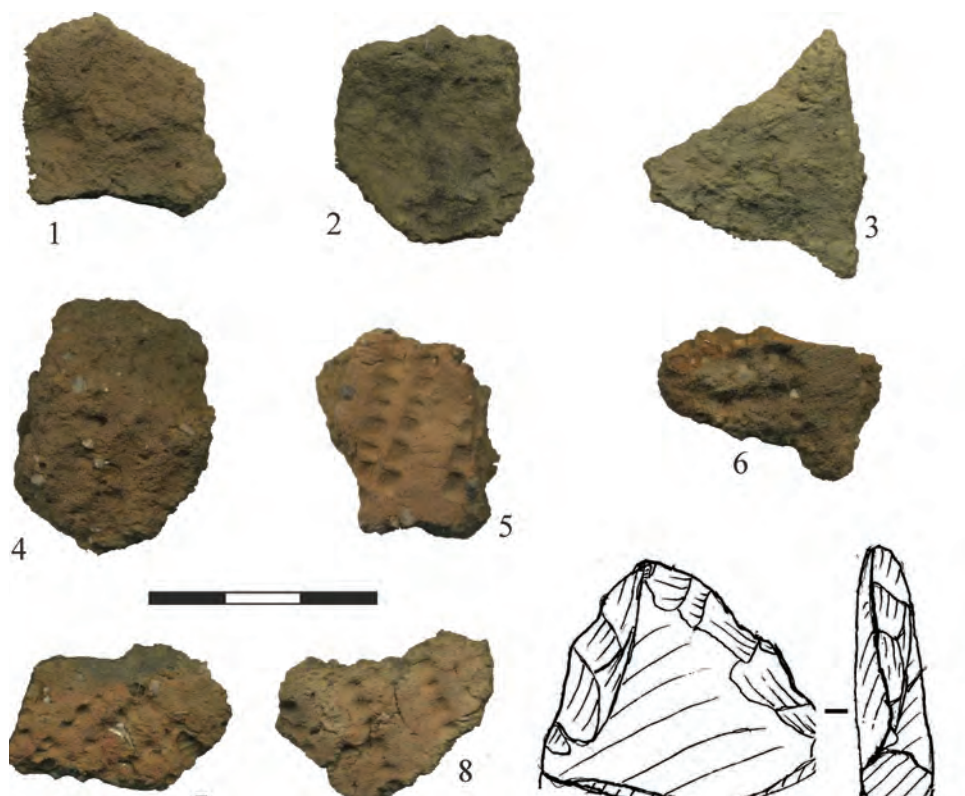


Рис. 53. Подъёмный материал со стоянки Вяйке-Ропсу 6: 1–3 шнуровая керамика; 4–8 — гребенчато-ямочная керамика; 9 — фрагмент заготовки бифасиального орудия из кремня

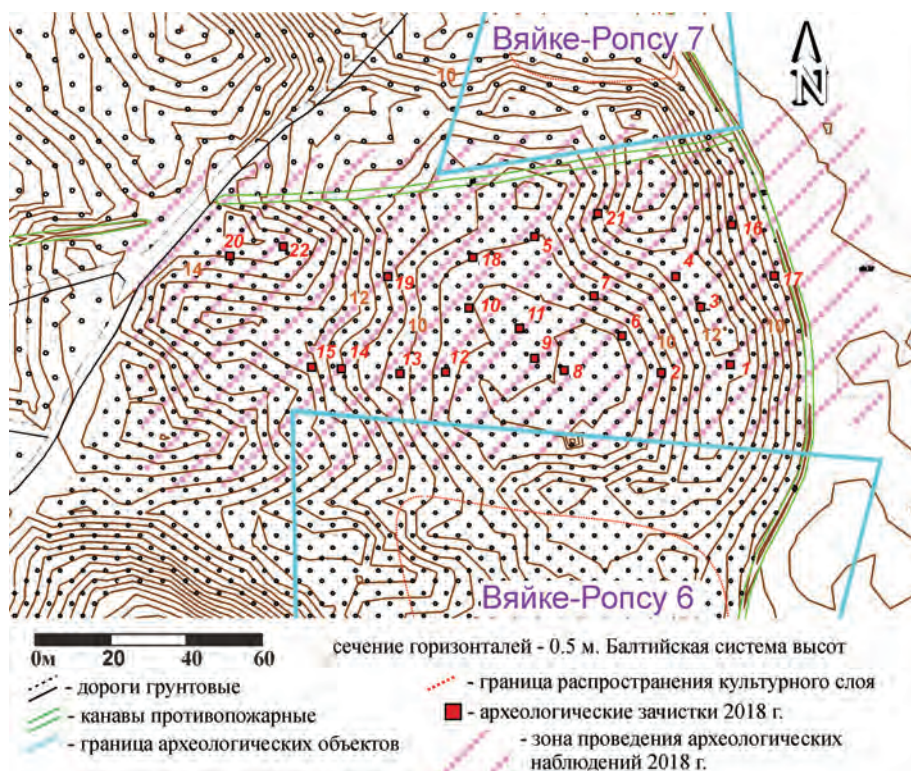


Рис. 54. План участка археологических наблюдений 2018 г. у границ стоянок Вяйке-Ропсу 6 и 7

до западного края дюн, где строительный коридор уходит в заболоченные понижения между береговыми валами.

Дюна, к которой примыкают площадки стоянок Вяйке-Ропсу 6 и 7 (рис. 54), расположена на вытянутой в меридиональном направлении возвышенности, имеющей на этом участке ширину около 350 м и максимальные высотные отметки — до 23,5 м над уровнем моря. Восточный край возвышенности круто обрывается в болото Кадер до уровня около 8,0 м над уровнем моря. В западной части край понижается до отметок около 8,5 м над уровнем моря в сторону береговых валов и грунтовой дороги. Прослеживаемые перед ней с западной стороны три песчаных береговых вала, чередующихся с ложбинами, имеют отметки 7,2–8,5 м над уровнем моря.

Стратиграфия на участке наблюдалась схожая (рис. 55) — под слоем дёрна мощностью не более 5 см залегает горизонт подзола толщиной 7–10 см. Ниже расположены эоловые пески, прослеженные до глубины 40 см. Дерново-подзолистый слой локально западает до глубины 20–30 см от поверхности в результате деятельности корней. В ряде случаев под дёрном наблюдается горизонт перемешивания дёрново-подзолистого слоя и нижележащего эолового песка в результате одноразовой распашки под лесопосадки после пожаров середины



Рис. 55. Стратиграфия в зачистке 10 на участке археологических наблюдений 2018 г. у границ стоянок Вяйке-Ропсу 6 и 7. Вид с севера. Фотография Д.В. Герасимова



Рис. 56. Разрез в зачистке 21 на участке археологических наблюдений 2018 г. у границ стоянок Вяйке-Ропсу 6 и 7. Вид с юга. Фотография А.Ю. Сергеева

2000-х годов. Признаков культурного слоя и артефактов ни на одном из участков нарушенной поверхности обнаружено не было.

Зачистки разрезов дюны (рис. 56–57) показали, что толща эоловых песков достигает мощности 1,5–2 м и подстилается слоистыми песками с гравием

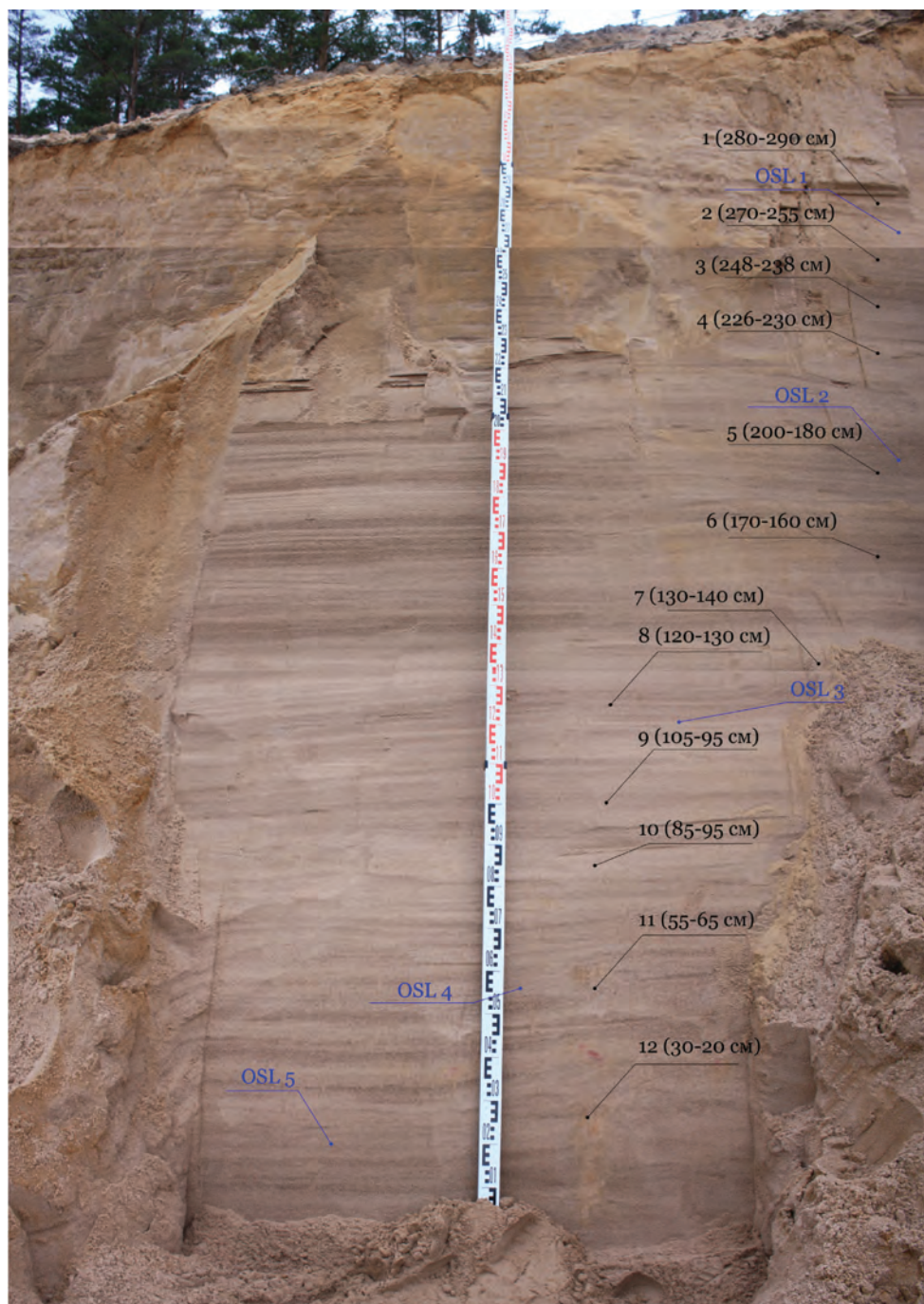


Рис. 57. Точки отбора образцов для лабораторных анализов из разреза в зачистке 21 на участке археологических наблюдений 2018 г. у границ стоянок Вайке-Ропсу 6 и 7. Вид с юга. Фотография А.Ю. Сергеева



Рис. 58. Разрез с горизонтами погребённых дюной почв в зачистке 20 на участке археологических наблюдений 2018 г. у границ стоянок Вяйке-Ропсу 6 и 7. Вид с востока. Фотография И.А. Фёдорова

и галькой разной размерности — прибрежными морскими отложениями. В разрезе дюны зачистками 19–20 и 22 м в толще эоловых песков были прослежены два горизонта погребённых почв, представляющих собой слабогумусированные насыщенные углём и золой прослойки (рис. 58–59). В наиболее высоких участках верхняя залегает на глубине 0,8–1 м от современной поверхности, нижняя отделена от неё прослойкой чистого песка мощностью около 0,5 м. На склонах глубина залегания прослоек уменьшается. Данные горизонты могут быть свидетельствами этапов движения и стабилизации дюн в голоцене.

Из разрезов, полученных зачистками 21 (рис. 57) и 22 (рис. 59), были отобраны образцы для гранулометрического анализа и образец угля из скопления в нижнем горизонте погребённой почвы для датирования радиоуглеродным методом OSL.

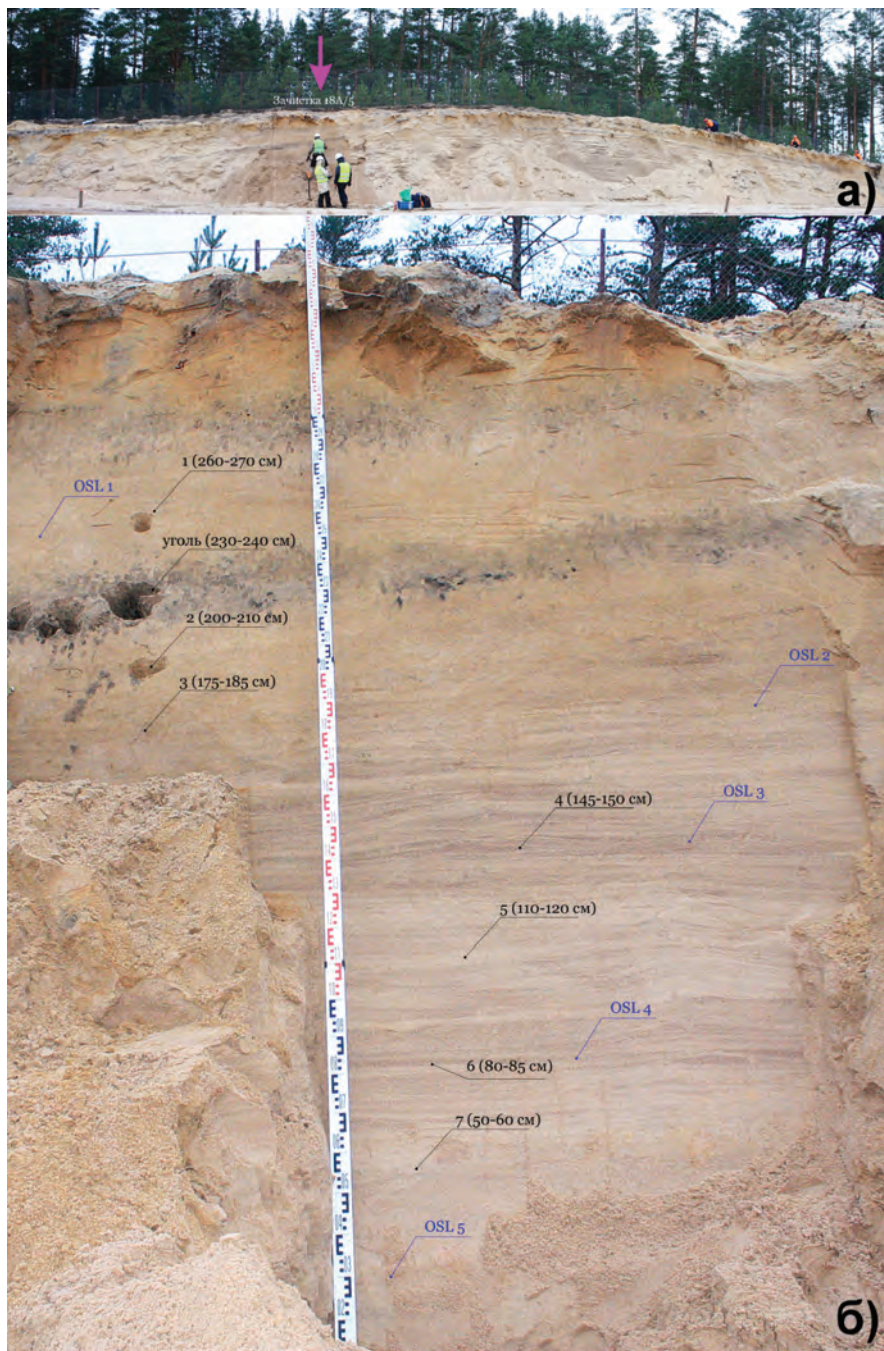


Рис. 59. Разрез с горизонтами погребённых дюной почв в зачистке 22 на участке археологических наблюдений 2018 г. у границ стоянок Вьяке-Ропсу 6 и 7: а) место закладки зачистки; б) точки отбора образцов для лабораторных анализов. Вид с юга.
Фотография А.Ю. Сергеева